

●計数の低領域範囲では、計測時間を2分、4分と増して誤差の縮小につとめた。

●この $\beta$ 線の $A\ell$ 中での最大飛程は、グラフから2.66mmと読みとれる。

予想される値は、 $\beta$ 粒子のエネルギーを2.29MeVとして

$$R = 0.542 \times E - 0.133 \quad \text{※1}$$

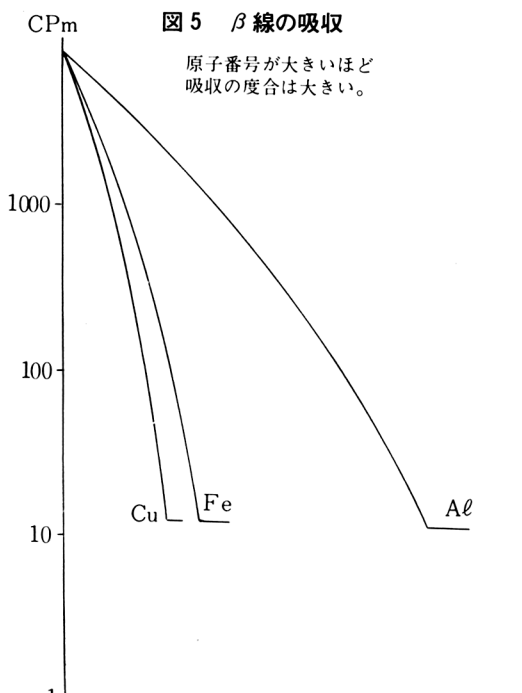
から4.2mmであるから、測定値はかなりの誤差をもつ。この原因としてはGM管のガラス窓や空気による吸収等が考えられ、また曲線のひき方によっても左右されよう。

●逆に、最大飛程の測定値をもとにしてGM管に入り込んだ $\beta$ 線のエネルギーを求めるとき

$$\begin{aligned} E &= \frac{0.266 \times 2.7 - 0.133}{0.542} \\ &= 1.08 \text{ (Mev)} \end{aligned}$$

●線源、吸収板、GM管のそれぞれの間の距離をある程度変えても、グラフの位置や傾きが変わらなければ最大飛程は同一の値を得る。

● $A\ell$ のほかにFe, Cuについて吸収曲線を求めると、吸収物質の原子番号が大きいほど、最大飛程は小さくなることを見出すことができる。



各場合の最大飛程をグラフから求めて下表に示してみる。

吸収物質	原子番号	最大飛程mm
$A\ell$	13	2.66
Fe	26	0.91
Cu	29	0.62

## (2) $\beta$ 線の吸収に関する実験 (その2)

① 線源として、市販の $Sr^{90}$ を用いる。

② 装置や吸収板については前記のものと同じ。

● $Sr^{90}$ は、半減期28yで、0.545MeVの $\beta$ 線を放射して $Y^{90}$ に壊変する。また、この $Y^{90}$ は、2.27MeVの $\beta$ 線を放射して $Zr^{90}$ に変る。結局、2.27MeVと0.545MeVの二種の $\beta$ 線を放射するわけである。

$A\ell$ 中の最大飛程は

$$\begin{aligned} R &= 0.542 \times 2.27 - 0.133 \\ &= 1.097 \text{ (g/cm}^3\text{)} \end{aligned}$$

これをmm単位に換算して、4.06mmが予想される。

## ③ 測定結果

測定値のまとめ方等については前記(1)の場合と同じだから、ここでは省略して結果をグラフに示しておく。(次ページ 図6)

●吸収板の厚さを最大にしても若干の計数率が残るのは、線源から放射される弱い $\gamma$ 線と、吸収板に発生する制動放射に基づくものである。

● $A\ell$ の場合、最大飛程をグラフから求めると、2.29mmを得る。

※1 エネルギーが $E$  (MeV) の $\beta$ 粒子の $A\ell$ 中での最大飛程 $R$  ( $g/cm^3$ ) は

$$0.8 \text{ Mev} < E < 3 \text{ Mev} \text{ では}$$

$$R = 0.542E - 0.133$$

$$0.15 \text{ Mev} < E < 0.8 \text{ Mev} \text{ では}$$

$$R = 0.407E^{1.38}$$